

BAZI N-[2-(3,4-DİMETOKSİFENİL) ETİL] SÜBSTİTÜEBENZAMİT TÜREVLERİNİN SENTEZLERİ VE KARAKTERİZASYONLARI

SYNTHESIS AND CHARACTERIZATION OF SOME N-[2-(3,4-DIMETHOXYPHENYL) ETHYL] SUBSTITUTEDBENZAMIDE DERIVATIVES

M. Varol PABUÇUOĞLU*

SUMMARY

In this study, the synthesis and detailed spectral data of sixteen N-[2-(3,4-dimethoxyphenyl) ethyl] substitutedbenzamide derivatives are reported. Nine of these are novel compounds.

ÖZET

Bu çalışmada 16 tane N-[2-(3,4-dimetoksifenil) etil] benzamit türevinin sentezi ve ayrıntılı spektral analiz bulguları rapor edilmektedir. Bunlardan 9 tanesi yeni bileşiklerdir.

GİRİŞ

Benzoksazepin türevlerinin merkezi sinir sistemi üzerine sedatif ve anksiolitik etkiler gösterdiği bilinmektedir (1-3). Bu noktadan hareketle, bazı 7,8-dimetoksi-2,3-benzoksazepin türevlerinin sözkonusu aktivitelerinin sistematik olarak araştırılması amacıyla yönelik bir proje kapsamında, sentez ara ürünleri olarak 16 tane N-[2-(3,4-dimetoksifenil) etil] benzamit sentezi gerçekleştirilmiştir. Gerek amitlerde, gerekse daha sonra kazanılacak olan benzoksazepin türevlerinde yapı-efki ilişkilerinin incelenmesi amacıyla, fenil halkası

* Ege Üniversitesi Eczacılık Fakültesi Farmasötik Kimya Anabilim Dalı, Bornova/İZMİR.

nonsübstitüe olan benzamit'in yanısıra, fenil üzerinde sırasıyla *o*, *m* ve *p*-konumlarında 5 farklı sübstituent (OCH_3 , CH_3 , Cl, Br, NO_2) taşıyan türevler hazırlanmıştır. Böylece hem farklı elektronik ve lipofilik karakterli sübstituentlerin aktiviteyi yönlendirisi, hem de herbir sübstituentin konumuna bağlı olarak aktiviteye etkisinin saptanması mümkün olacaktır.

Sübstitüebenzamit türevlerinin çok çeşitli biyolojik aktiviteler gösterdiği literatürde kayıtlıdır. Örneğin bu türevlerin antikonvülzan(4), antiemetik(5-7), antiaritmik(8,9) ve antifungal(10,11) aktiviteler sergiledikleri gösterilmiştir. Özellikle son yıllarda sistemik mantar enfeksiyonlarının tedavisinde karşılaşılan zorluklar, yeni antifungal ilaçlara duyulan gerekliliği vurgulamaktadır(12). Bu nedenle bu çalışmada sentezleri ile yapılarının aydınlatılmasına yönelik ayrıntılı spektral analiz bulguları rapor edilen amitler, daha sonra potansiyel antifungal aktiviteleri açısından yapı-etki ilişkileri çerçevesinde incelenecelerdir.

DENEYSEL BÖLÜM

Sentez çalışmalarında hareket maddesi olarak kullanılan hemoveratrilamin, benzoil klorür ve sübstitüebenzoil klorürler Fluka, Sigma ve TCI-American firmalarından temin edilmişlerdir. Sentezi yapılan bileşiklerin uv spektrumları Shimadzu UV-150-0.2 spektrofotometre içinde metanollu çözeltileri içinde, ir spektrumları Perkin-Elmer 281 B spektrofotomtresinde CHCl_3 içinde kaydedilmiştir. ^1H nmr ve ^{13}C nmr spektrumları Bruker WM-360 spektrometresi kullanılarak CDCl_3 içinde alınmıştır. ei Kütle spektrumları- Kratos 9/50 spektrometresi ile kaydedilmiştir. Bileşiklerin erime dereceleri Buchi 510 Erime Derecesi aletinde tayin edilmiş ve düzeltmeden rapor edilmiştir.

Genel Sentez Metodu

0.03 mol homoveratrilamin 20 ml CHCl_3 da çözüldü ve üzerine 21 ml % 20 lik K_2CO_3 çözeltisi ilave edildi. Buzda soğutulan ve karıştırılan bu karışımın üzerine 0.035 mol sübstitüebenzoil klorürün 20 ml CHCl_3 daki çözeltisi ilave edildi. Daha sonra reaksiyon karışımı 3 saat oda

temperatüründe karıştırıldı. Bu sürenin sonunda sırasıyla 50 ml su, 50 ml doymuş Na_2CO_3 çözeltisi ve yine 50 ml su ile yıkandı. Ayrılan CHCl_3 fazı susuz Na_2SO_4 üzerinde kurutuldu. CHCl_3 'un distilasyonundan sonra kalan katı ürün uygun bir çözücüden kristallendirildi.

Sentezi Yapılan Bileşikler

$\text{N-[2-(3,4-dimetoksifenil) etil]}-\text{o-metoksibenzamit}$ (*1A*), $\text{N-[2-(3,4-dimetoksifenil) etil]}-\text{m-metoksibenzamit}$ (*1B*), $\text{N-[2-(3,4-dimetoksifenil) etil]}-\text{p-metoksibenzamit}$ (*1C*), $\text{N-[2-(3,4-dimetoksifenil) etil]}-\text{o-metilbenzamit}$ (*2A*), $\text{N-[2-(3,4-dimetoksifenil) etil]}-\text{m-metilbenzamit}$ (*2B*), $\text{N-[2-(3,4-dimetoksifenil) etil]}-\text{p-metilbenzamit}$ (*2C*), $\text{N-[2-(3,4-dimetoksifenil) etil]}-\text{o-klorobenzamit}$ (*3A*), $\text{N-[2-(3,4-dimetoksifenil) etil]}-\text{m-klorobenzamit}$ (*3B*), $\text{N-[2-(3,4-dimetoksifenil) etil]}-\text{p-klorobenzamit}$ (*3C*), $\text{N-[2-(3,4-dimetoksifenil) etil]}-\text{o-bromobenzamit}$ (*4A*), $\text{N-[2-(3,4-dimetoksifenil) etil]}-\text{m-bromobenzamit}$ (*4B*), $\text{N-[2-(3,4-dimetoksifenil) etil]}-\text{p-bromobenzamit}$ (*4C*), $\text{N-[2-(3,4-dimetoksifenil) etil]}-\text{o-nitrobenzamit}$ (*5A*), $\text{N-[2-(3,4-dimetoksifenil) etil]}-\text{m-nitrobenzamit}$ (*5B*), $\text{N-[2-(3,4-dimetoksifenil) etil]}-\text{p-nitrobenzamit}$ (*5C*), $\text{N-[2-(3,4-dimetoksifenil) etil]}-\text{benzamit}$ (*6*).

Yukarıda belirtilen bileşiklerin (*1A* – *6*) sentez verimleri, erime dereceleri, uv, ir ve kütle spektral bulguları Tablo 1 de, ^1H nmr verileri Tablo 2,3 ve 4 de, ^{13}C nmr verileri ise Tablo 5,6 ve 7 de verilmiştir.

Tablo - 1 : Sentezi yapılan bileşiklerin verim, erime derecesi ve bazı spektral bulguları

Bileşik	Verim g (%)	E.D. $^{\circ}\text{C}$	$\text{UV}=\lambda_{\text{max}}^{\text{MOH}} (\log \text{nm})$	$\text{IR}=\nu_{\text{max}} \text{ cm}^{-1}$	Kütle = m/z (% bağılı bolluk)
1A (53)	6.70	91-93 (a)	208(4.50) 229(4.25)	3400(N-H) 1645(C=O) 281(3.77) 288 sh (3.7) 296 sh (3.48)	315(M^+ ,1), 165(6), 164(100), 151(4), 149(5), 135(21), 107(1), 92(2)
1B (73)	9.15	109-111 (b)	211(4.43) 223 sh (4.26) 280(3.68) 283 sh (3.67) 293(3.37)	3440(N-H) 1655(C=O) 149(6), 135(100), 107(12), 92(7)	315(M^+ ,3), 165(10), 164(79), 151(18), 149(6), 135(100), 107(12), 92(7)

Tablo - 1 :in devamı

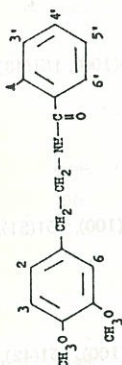
1C	12.09	121-123	208(4.43) (96) (a) 238 sh (4.20) 252(4.26) 271 sh (3.99) 277 sh (3.87) 285(3.58)	3440(N-H) 1640(C=O)	315(M ⁺ ,2), 165(11), 164(100), 151(10), 149(10), 135(49), 107(7), 92(6)
2A	6.98	111-113	208(4.38) (78) (b) 225(4.18) 276(3.59) 282 sh (3.50)	3440(N-H) 1650(C=O)	299(M ⁺ ,1), 165(11.3), 164(100), 151(9), 149(7), 119(28), 91(17)
2B	11.34	72-75	206(4.19) (95) (b) 229(4.30) 276(3.62) 280 sh (3.60) 284 sh (3.52)	3440(N-H) 1650(C=O)	299(M ⁺ ,2), 165(11), 164(100), 151(18), 149(8), 119(32), 91(34)
2C	8.09	99-100	205(4.41) (90) (b) 232(4.35) 275(3.62) 281 sh (3.56) 285 sh (3.47)	3440(N-H) 1650(C=O)	299(M ⁺ ,2), 165(10), 164(100), 151(14), 149(6), 119(35), 91(66)
3A	7.49	122	211(4.27) (78) (a) 226 sh (4.11) 277(3.53) 284 sh (3.48)	3430(N-H) 1650(C=O)	319(M ⁺ ,2), 165(10), 164(100), 151(21), 149(11), 139(16), 11(6)
3B	6.12	85	209(4.44) (64) (c) 224 sh (4.31) 279(3.82) 284 sh (3.77)	3440(N-H) 1660(C=O)	319(M ⁺ ,3), 165(11), 164(100), 151(29), 149(8), 139(12), 111(8)
3C	9.19	128	208(4.3) (96) (a) 232(4.34) 275(3.59) 283 sh (3.47)	3420(N-H) 1650(C=O)	319(M ⁺ ,2), 165(11), 164(100), 151(26), 149(10), 139(16), 111(7)
4A	9.59	141-142	208(4.49) (88) (a) 223 sh (4.25) 277(3.61)	3420(N-H) 1660(C=O)	363(M ⁺ ,1), 183(6), 165(9), 164(100), 155(3), 151(21), 149(7)

Tablo - 1 : in devamı

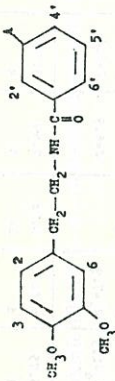
			281 sh (3.59)		
			285 sh (3.52)		
4B	8.72 (80)	79 (d)	208(4.49) 222 sh (4.28) 277(3.59) 282 sh (3.59) 285 sh (3.49)	3440(N-H) 1660(C=O)	363(M ⁺ ,2), 183(9), 165(10), 164(100), 155(5), 151(32), 149(8)
4C	9.38 (86)	140-141 (a)	206(4.47) 233(4.38) 272 sh (3.73) 283 sh (3.60)	3440(N-H) 1650(C=O)	363(M ⁺ ,2), 183(8), 165(11), 164(100), 155(4), 151(24), 149(7)
5A	9.42 (95)	141-143 (a)	208(4.46) 227(4.23) 274(3.85) 285 sh (3.74)	3430(N-H) 1670(C=O) 1510,1330(NO ₂)	330(M ⁺ ,5), 165(10), 164(100), 151(43), 150(10), 149(8), 122(1)
5B	7.49 (76)	150-151 (a)	214(4.43) 268 sh (3.90) 282 sh (3.74)	3440(N-H) 1660(C=O) 1500, 1330 (NO ₂)	330(M ⁺ ,4), 165(11), 164(100), 151(51), 150(15), 149(10), 122(1)
5C	8.17 (83)	145-147 (a)	206(4.40) 230(4.09) 271(4.12)	3440(N-H) 1665(C=O) 1500, 1330 (NO ₂)	330(M ⁺ ,5), 165(11), 164(100), 151(42), 150(8), 149(10), 122(1)
6	12.35 (44)	86 (e)	210(4.28) 228(4.3) 276(3.61) 279 sh (3.60) 283 sh (3.52)	3450(N-H) 1660(C=O)	285(M ⁺ ,2), 165(11), 164(100), 151(23), 149(12), 105(38), 77(25)

a = Metanol ; b = Dietileter ; c = Etil asetat ; d = Etanol ; e = Kloroform-hekzan ; sh = Omuz

Table - 2 : N - [2 - (3,4 - dimetoksifenil)etil] - o - substitüebenzamit türevlerinin ^1H nmr bulguları



Bileşik No	Proton No	A	CH_3^0	CH_3^0	H-6	H-5	H-3	H-2	PhCH_2	CH_2N	NH	H-3'	H-4'	H-4	H-5'	H-6'
1A	CH_3^0	3.78	3.85	3.88	6.83	6.85	6.73	2.88	t dd	3.73- q J=6.8	7.90	6.92	7.42	7.07	8.22	dd dd
2A	CH_3^0	2.40	-	3.66	3.87	6.78	6.82	6.77	2.88 dd	3.70 q J=6.9	5.77	7.22	7.22	7.22	7.22	mm
3A	Cl	-	3.85	3.86	6.79	6.92	6.78	2.90	t dd J=6.9	3.72 q J=6.3	6.3	7.32	7.32	7.32	7.59	dd dd
4A	Br	-	3.93	3.84	6.76	6.79	6.76	2.87	t dd J=6.9	3.67 q J=6.6	6.14	7.41	7.29	7.21	7.52	dd dd
5A	NO_2	-	3.85	3.86	6.80	6.80	6.80	2.91	t dd J=6.8	3.72 q J=6.5	5.85	8.04	7.56	7.64	7.43	dd dd

Table-3 : N-[2-(3,4-dimetoksifenil)etil]-m-substitüebenzamit türevlerinin ^1H nmr bulguları

Bileşik No	Proton No	A	CH_3O	CH_3O	H-5	H-3	H-2	PhCH_2	CH_2N	NH	H-2'	H-4'	H-5'	H-6'
1B	CH_3O	3.83	3.85	3.87	6.79 d $J_m=1.9$	6.83 d $J_o=8$	6.76 dd	2.88 t $J_m=6.8$	3.69 q $J_o=6.5$	6.16 q $J_m=2.5$	7.31 dd $J_o=8.2$	7.02 dd $J_m=1.6$	7.28 $J_o=7.6$	7.17 dd
2B	CH_3O	2.38	3.85	3.88	6.79 d $J_m=1.8$	6.83 d $J_o=8.0$	6.76 dd	2.88 t $J_m=6.9$	3.69 q $J_o=6.5$	6.15 q $J_m=6.5$	7.54 m	7.29 m	7.45 m	7.29 m
3B	C1	-	3.86	3.87	6.78 d $J_m=1.8$	6.84 d $J_o=8.0$	6.75 dd	2.88 t $J_m=6.8$	3.69 q $J_o=6.4$	6.10 q $J_m=1.8$	7.69 dd $J_o=7.9$	7.46 dd $J_m=2$	7.35 dd $J_o=7.9$	7.54 dd
4B	2R'	=	3.86	3.87	6.74 d $J_m=1.8$	6.84 d $J_o=8.0$	6.77 dd	2.88 t $J_m=6.8$	3.68 q $J_o=6.4$	6.12 q $J_m=1.8$	7.84 dd $J_o=7.3$	7.60 dd $J_o=7.3$	7.28 dd $J_o=7.3$	7.60 m
5B	R ₂	-	3.85	3.85	6.78 d $J_m=1.9$	6.83 d $J_o=7.9$	6.77 dd	2.88 t $J_m=6.9$	3.73 q $J_o=6.4$	6.44 q $J_m=1.8$	8.50 dd $J_m=1.3$	8.08 dd $J_o=8.2$	7.62 dd $J_o=8.7$	8.13 dd

Tablo - 4 : N-[2-(3,4-dimetoksfenil)etil]-p-sübstitüebenzamit türevlerinin ^1H nmr bulguları

Bulagak No	Proton Sırası*	A	CH_3^0	CH_3^0	H-6	H-3	H-2	PhCH_2	CH_2N	NH	H-2'	H-3'	H-5'	H-6'
1C	CH_3^0	3.84	3.84	3.87	6.78	6.86	6.75	2.87	3.68	6.05	7.66	6.89	6.89	7.56
					d	d	dd	t	q		dd	dd	dd	dd
					$J_{\text{m}}=1.8$	$J_{\text{o}}=8.0$		$J=6.8$	$J=6.5$	$J_{\text{o}}=6.9$	$J_{\text{o}}=6.9$	$J_{\text{o}}=6.9$	$J_{\text{m}}=1.9$	$J_{\text{m}}=1.9$
2C	CH_3^0	2.37	1.83	3.86	6.77	6.32	6.76	2.87	3.68	6.21	7.20	7.60	7.60	7.20
					d	d	dd	t	q	d	d	d	d	d
					$J_{\text{m}}=1.8$	$J_{\text{o}}=8.0$		$J=6.9$	$J=6.4$	$J=8.1$		$J_{\text{o}}=8.1$		$J_{\text{o}}=8.1$
3C	C1	-	3.81	3.84	6.74	6.8	6.73	2.85	3.65	6.36	7.62	7.34	7.34	7.62
					d	d	dd	t	q	dd	dd	dd	dd	dd
					$J_{\text{m}}=1.8$	$J_{\text{o}}=8.0$		$J=6.9$	$J=6.5$	$J_{\text{o}}=6.6$		$J_{\text{o}}=6.6$	$J_{\text{m}}=1.8$	$J_{\text{m}}=1.8$
4C	Br	-	3.85	3.87	6.74	6.83	6.76	2.87	3.69	6.12	7.55	7.55	7.55	7.55
					d	d	dd	t	q	dd	dd	dd	dd	dd
					$J_{\text{m}}=1.8$	$J_{\text{o}}=8$		$J=6.8$	$J=6.4$					
5C	NO_2	-	3.85	3.86	6.77	6.83	6.76	2.90	3.72	6.12	7.85	8.25	8.25	7.85
					d	d	dd	t	q	d	d	d	d	d
					$J_{\text{m}}=1.9$	$J_{\text{o}}=7.9$		$J=6.9$	$J=6.4$	$J_{\text{o}}=8.8$		$J_{\text{o}}=8.8$	$J_{\text{m}}=1.8$	$J_{\text{m}}=1.8$
6	H	7.40	3.84	3.87	6.75	6.82	6.78	2.89	3.71	6.16	7.70	7.40	7.40	7.70
		m			d	d	dd	t	q	m	m	m	m	m
					$J_{\text{m}}=1.8$	$J_{\text{o}}=8$		$J=6.8$	$J=6.4$	$J_{\text{o}}=8.0$		$J_{\text{o}}=8.0$	$J_{\text{m}}=1.8$	$J_{\text{m}}=1.8$

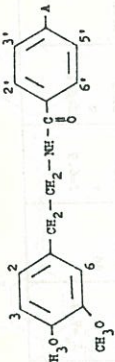
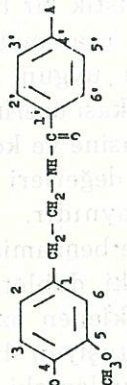


Table - 5 : N-[2-(3,4-dimetoksifenil)etil]-o-substitülebenzamit türevlerinin ^{13}C nmr bulguları

Bileşik No	Karb. No Subsat.	A	CH_3^0	CH_3^0	C-1		C-2	C-3	C-4	C-5	C-6	PhCH_2	CH_2N	O=O-	C-1'	C-2'	C-3'	C-4'	C-5'	C-6'
					TBDPS	TBDPS	TBDPS	TBDPS	TBDPS	TBDPS	TBDPS	TBDPS	TBDPS	TBDPS	TBDPS	TBDPS	TBDPS	TBDPS	TBDPS	
1A	CH_3^0	55.5	55.8	55.7	131.8	120.6	111.1°	147.0°	148.0°	111.2°	35.0	40.9	165.1	121.4	257.0	112.0	132.1	121.4	132.1	
2A	CH_3^0	19.6	55.7	55.8	131.8	120.6	111.3°	149.0°	148.0°	111.8°	35.2	40.8	169.9	135.8	136.4	130.8	126.5	129.7	125.6	
3A	-	55.6	55.7	55.7	131.0	120.5	111.2°	148.8°	147.5°	111.8°	34.8	41.1	165.3	130.8	135.0	129.6	130.9	126.7	129.9	
4A	NO_2	-	55.8	55.9	131.0	120.6	111.3°	148.9°	147.6°	111.9°	34.9	41.1	167.4	137.7	119.1	131.0	133.2	127.3	129.2	
5A	NO_2	-	55.7	55.8	131.0	120.5	111.2°	148.7°	147.4°	111.9°	34.7	41.3	166.3	130.1	146.1	124.2	133.4	130.4	128.4	

Tablo - 6 : N-[2-(3,4-dimetoksifenil)etil] - m - substitütebenzamit türevlerinin ^{13}C nmr bulguları

Bileşik No	Karb. Subs.	A	CH_3^0	CH_3^0	Bulgu (ppm)														
					C-1	C-2	C-3	C-4	C-5	C-6	PhCH_2	CH_2N	C=O	C-1'	C-2'	C-3'	C-4'	C-5'	C-6'
1B	CH_3^0	55.2	55.6	55.7	131.3	120.5	111.2°	147.9°	147.5°	111.8°	35.0	41.2	167.2	136.0	112.1	159.6	117.4	129.4	118.4
2B	CH_3^0	21.2	55.7	55.8	131.7	120.6	111.2°	148.9°	147.6°	111.9°	35.1	41.2	167.6	134.5	128.3	128.0	132.0	127.5	123.6
3B	Cl	-	55.7	55.8	131.1	120.5	111.3°	148.9°	147.6°	111.8°	35.0	41.3	166.0	134.5	127.1	136.3	131.3	129.7	124.8
4B	Br	-	55.7	55.8	131.1	120.6	111.4°	149.0°	147.7°	111.8°	35.0	41.3	165.9	136.5	130.0	122.6	134.2	130.0	125.3
5B	NO_2	-	55.7	55.8	130.9	120.6	111.5°	148.0°	147.7°	111.7°	35.0	41.4	165.0	136.2	121.6	149.1	125.9	129.7	133.1

Table - 7 : N-[2-(3,4-dimetoksifenil)etil] - p-stübtitüebenzamit türeyelerinin ^{13}C nmr bulguları

Bileşik No	Subst.	A	^{13}C nmr bulguları																
			CH ₃ 0	CH ₂ 0	C-1	C-2	C-3	C-4	C-5	C-6	PhCH ₂	CH ₂ N	C=O	C-1'	C-2'	C-3'	C-4'	C-5'	C-6'
10	CH ₃ 0	55.2	55.6	55.7	131.4	120.5	111.2°	147.5°	148.8°	111.8°	35.2	41.1	166.8	125.7	128.4	113.5	161.9	113.5	126.7
20	CH ₃	21.3	55.7	55.8	131.6°	120.6	111.2°	144.2°	147.6°	111.8°	35.2	41.2	167.5	131.3°	126.7	130.1	141.8	130.1	126.7
30	C1	-	55.7	55.8	131.1	120.5	111.3°	148.9°	147.6°	111.8°	35.0	41.2	166.2	132.8	128.6	128.1	137.5	128.1	128.6
40	Bz	-	55.7	55.8	131.6	120.5	111.3°	149.0°	147.6°	111.8°	35.0	41.2	166.4	133.3	128.3	131.6	125.9	131.6	128.3
50	NO ₂	-	55.8	55.9	130.8	120.6	111.4°	149.1°	147.9°	111.4°	35.0	41.4	165.3	130.8	127.9	123.8	140.1	123.8	127.9
6	H	-	55.7	55.6	131.2	120.5	111.7°	148.8°	147.4°	111.1°	35.1	41.2	167.3	134.4	126.6	128.4	131.3	128.4	126.6

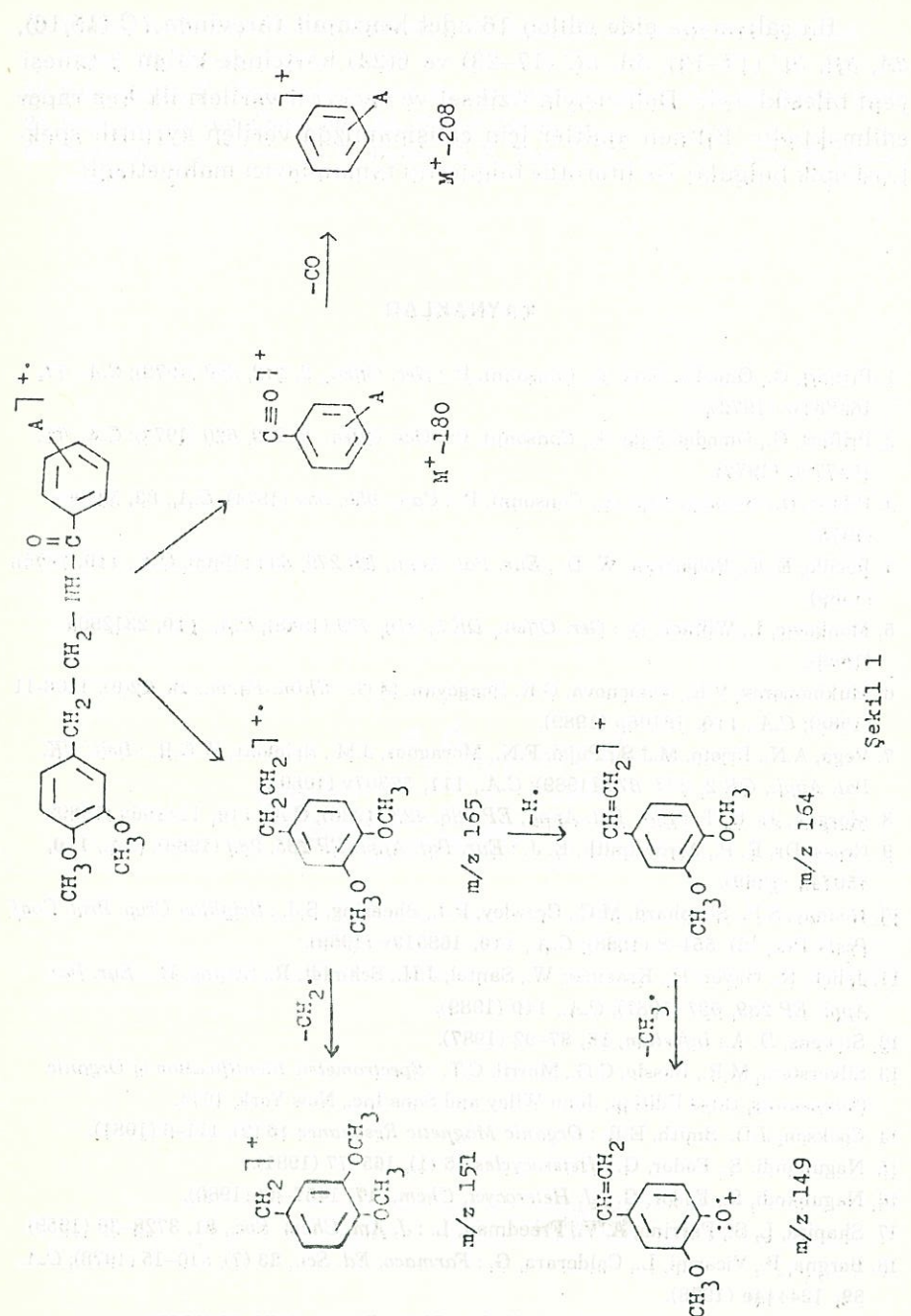
SONUÇ ve TARTIŞMA

Sentezi yapılan bileşiklerin spektral verilerinin değerlendirilmesi, beklenen ürünlerin elde edildiğini göstermiştir. İr Spektrumlarından saptandığı üzere, karakteristik N-H gerilme bantlarının $3400\text{--}3440\text{ cm}^{-1}$ de, amit I bantlarının $1645\text{--}1670\text{ cm}^{-1}$ de görülmesi amit yapısının elde edildiğini kanıtlamaktadır.

Bileşiklerin ^1H nmr spektrumlarında izlenen sinyallerin kimyasal kayma değerleri ve etkileşme değişimleri, beklenen değerlerle uyum içindedir. Örneğin fenile komşu metilen protonları δ $2.85\text{--}2.91$ arasında komşu metilen etkisiyle triplet halinde, amit azotuna bağlı metilen protonları ise komşu metilen ve amit hidrojeni etkisi ile kuartet olarak δ $3.73\text{--}3.65$ arasında gözlenmektedir. Yine tüm bileşiklerde amit hidrojeni geniş singlet halinde δ $7.90\text{--}5.77$ arasında görülmektedir. Bu da yavaş değişebilen amit protonları için karakteristik bir husustur (13). Etil zinciri üzerinde bulunan fenil halkasına ait üç aromatik proton bir ABX sistemi halinde δ $6.73\text{--}6.84$ arasında uygun bölünme değişimleri ile rezonans vermektedir. Benzamit halkası üzerinde bulunan aromatik protonları, yapıdaki sübstiyentin cinsine ve konumuna bağlı olarak sergiledikleri farklı kimyasal kayma değerleri ve farklı bölünme şekilleri ise beklenen değerlerle aynıdır. Örneğin sübstiyentleri para konumunda taşıyan türevlerde benzamit halkası üzerindeki protonların her biri iki protonluk iki dublet halinde görülmesi, 1,4-disübstiyenzen türevlerinin beklenen özelligidir. Sübstiyentleri orta veya meta konumlarında taşıyan benzamit türevlerinde kimyasal kayma değerlerinin hangi konumlardaki hidrojenlere ait olduğunun saptanmasında ^1H nmr spindecoupling uygulanmasından faydalانılmıştır. Bölünme değişimleri de decoupling verilerini doğrulamaktadır.

Bileşiklerin ^{13}C nmr spektrumları GASPE (Gated Spin Echo) (14) tekniğinden yararlanılarak alınmıştır. Bu teknikte katerner ve metilen karbonları spektrum base-line'nın üstünde, metin ve metil karbonları da base-line'nın altında gözlenir. Sentezi yapılan bileşiklerin GASPE spektrumlarının değerlendirilmesi sonucunda saptanan kimyasal kayma değerleri beklenen değerlerle uyum içersindedir.

Sentezi yapılan bileşiklerin kütle spektrumlarında izlenen moleküller iyonlar, hesaplanan molekül ağırlıklarıyla aynıdır. Sözkonusu bileşikler için beklenen kütle parçalanma yolakları ile kütle spektrumlarından elde edilen veriler tamamen uygunluk göstermektedir. Bu bileşiklerin kütle parçalanma yolakları Şekil 1 de örneklenmiştir.



Received February 11, 1977
Accepted April 12, 1977
Editorial handling: Dr. G. C. Williams

Bu çalışmada elde edilen 16 adet benzamit türevinde 1C (15,16), 3A, 3B, 3C (17-19), 5A, 5C (17-23) ve 6(24) haricinde kalan 9 tanesi yeni bileşiklerdir. Dolayısıyla fiziksel ve spektral verileri ilk kez rapor edilmektedir. Bilinen amitler için çalışmamızda verilen ayrıntılı spektroskopik bulgular ise literatür bilgilerini tamamlayıcı mahiyettedir.

KAYNAKLAR

1. Prifferi, G., Omodie-Sale, A., Consonni, P. : *Ger. Offen.*, 2, 212, 692 (1972); *C.A.*, 77, 164781w (1972).
2. Prifferi, G., Omodei-Sale, A., Consonni, P. : *Ger. Offen.*, 2, 212, 620 (1972); *C.A.*, 77, 164779b (1972).
3. Pifferi, G., Omodei-Sale, A., Consonni, P. : *Can.*, 959, 054 (1974); *C.A.*, 83, 58900y (1975).
4. Beedle, E. E., Robertson, W. D. : *Eur. Pat. Appl.*, EP 279, 633 (1988); *C.A.*, 110, 7875n (1989).
5. Monkovic, I., Willner, D. : *Ger. Offen.*, DE 3, 816, 799 (1988); *C.A.*, 110, 231290a (1989).
6. Mukhomorov, V.K., Semenova, G.K. Shagoyan, M.G. : *Khim.-Farm.*, 2h, 22(9), 1108-11 (1988); *C.A.*, 110, 18106p (1989).
7. Vega, A.N., Prieto, M.J.S., Pujol, F.N., Moragues, J.M., Spiekett, W.G.R. : *Brit. UK. Pat. Appl.*, GB 2, 207, 673 (1989); *C.A.*, 111, 57307v (1989).
8. Morgan, Jr. K. T. : *Eur. Pat. Appl.*, EP 288, 423 (1988); *C.A.*, 110, 114456y (1989).
9. Cross, Dr. E. P., Arrowsmith, E. J. : *Eur. Pat. Appl.* EP 285, 284 (1988); *C.A.*, 110, 75074a (1989).
10. Heaney, S.P., Shephard, M.C., Crowley, P.J., Shearing, S.J. : *Brighton Crop. Prot. Conf. Pests Dis.*, (2), 551-8 (1988); *C.A.*, 110, 168013v (1989).
11. Jelich, K., Gayer, H., Kraemer, W., Santel, J.H., Schmidt, R., Strang, H. : *Eur. Pat. Appl.* EP 289, 927 (1987); *C.A.*, 110 (1989).
12. Stevens, D. A.: *Infection*, 15, 87-92 (1987).
13. Silverstein, M.R., Bassle, C.G., Morril, C.T. : *Spectrometric Identification of Organic Compounds*, third Edition, John Wiley and Sons Inc., New York, 1974.
14. Cookson, J.D., Smith, E.B. : *Organic Magnetic Resonance* 16 (2), 111-6 (1981).
15. Nagubandi, S., Fodor, G. : *Heterocycles* 15 (1), 165-77 (1981).
16. Nagubandi, S., Fodor, G. : *J. Heterocycl. Chem.*, 17, 1457-63 (1980).
17. Shapiro, L. S., Parrino, A. V., Freedman, L. : *J. Am. Chem. Soc.*, 81, 3728-36 (1959).
18. Borgna, P., Vicarini, L., Calderara, G. : *Farmaco, Ed. Sci.*, 33 (7), 510-15 (1978); *C.A.*, 89, 124444e (1978).
19. Viel, C., Dorme, R., Rumpf, P. : *Bull. Soc. Chim. France*, 1956-66 (1966).
20. Rajagopalan, S., Ganapathi, K.: *Proc. Indian Acad. Sci.*, 15A, 432-6 (1942); *C.A.*, 37, 11245 (1943).

21. Walker, A. K., Boots, R. M., Stubbins, F. J., Rogers, E. M., Davis, W. C. : *J. Med. Chem.*, **26**, 174-81 (1983).
22. Rajagopalan, S. : *Proc. Indian Acad. Sci.*, **14A**, 126-32 (1941); *C.A.*, **36**, 16038 (1942).
23. Buck, S.J. : *J. Am. Chem. Soc.*, **55**, 2593-7 (1933).
24. Bremmer, B. J., Browne, J. E., Davies, E. P., Thuc, L. V. : *Aust. J. Chem.*, **33**, 833-41 (1980).

T. C.
MARMARA ÜNİVERSİTESİ
ECZACILIK FAKÜLTESİ
KÜTÜPHANESİ

(Received February 11, 1991)